

磁流体力学数值模拟方法—第一次作业*

毛东巍[†] 钟志辉[‡] 张建[§]

中国科学院近地空间环境重点实验室, 合肥 230026

中国科学技术大学地球和空间科学学院, 合肥 230026

摘要

本工作为《磁流体力学的数值模拟方法》的第一次作业, 主要是简单训练了大家的作图能力。本次作业将根据讲义上的磁流体力学中快慢磁声波, Alven 波的特征速度的方程画出特征速度的在相空间的图形; 根据磁化冷等离子体的色散关系方程画出单成分不同传播方向角的色散关系图; 还将画图分析磁流体力学快磁声激波关系。

1 磁流体力学波的相速度图

磁流体力学中, 快慢磁声波, 横波 (Alfven) 波的特征速度分别为 (?)

$$c_f = \left\{ \frac{1}{2} \left[a^2 + b^2 + \sqrt{(a^2 + b^2)^2 - 4a^2b^2 \cos^2 \theta} \right] \right\}^{1/2}, \quad (1)$$

$$c_s = \left\{ \frac{1}{2} \left[a^2 + b^2 - \sqrt{(a^2 + b^2)^2 - 4a^2b^2 \cos^2 \theta} \right] \right\}^{1/2}, \quad (2)$$

$$b_n = b |\cos \theta|. \quad (3)$$

其中, a 是声速, $a^2 = \partial p / \partial \rho$, p 和 ρ 是流体的压力和密度; b 是 Alfven 波速, $b^2 = \mu H^2 / 4\pi\rho$. \mathbf{H} 是磁场, μ 是磁导率; θ 为传播方向和磁场所成夹角。

熟悉所使用的作业工具和相应软件, 将以上公式中 c_f , c_s , b_n 和 θ 的关系用图形表示 (极坐标形式), 比较和分析图形曲线中所含的物理概念和参数

*2019 秋季中国科学技术大学研究生课程《磁流体力学的数值模拟方法》

[†]Email: mdw97@mail.ustc.edu.cn

[‡]Email: zzhustc@mail.ustc.edu.cn

[§]Email: zj250711@mail.ustc.edu.cn

的特性. 结果要求能将所有的物理特性或者典型情况涵盖. 可以参考图1或文献? 中已有的图形.

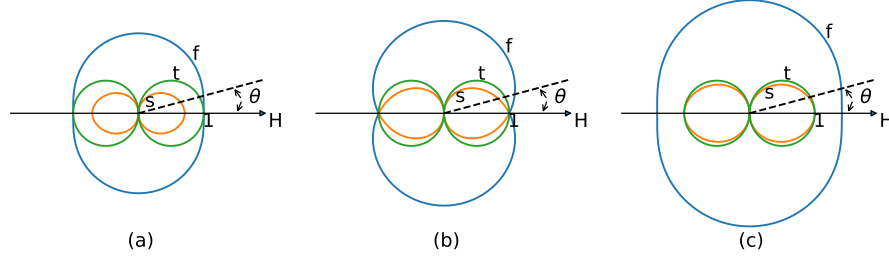


图 1: 表面法相速度图示: 其中 (a) $s = 0.5$, (b) $s = 1$, (c) $s = 2$.

2 冷等离子体中的色散关系

磁化冷等离子体的色散关系可以表示为 (?)

$$(S \sin^2 \theta + P \cos^2 \theta) n^4 - [RL \sin^2 \theta + PS (1 + \cos^2 \theta)] n^2 + PRL = 0 \quad (4)$$

这里 $n = kc/\omega$ 是折射率, θ 是波的传播方向和磁场的夹角,

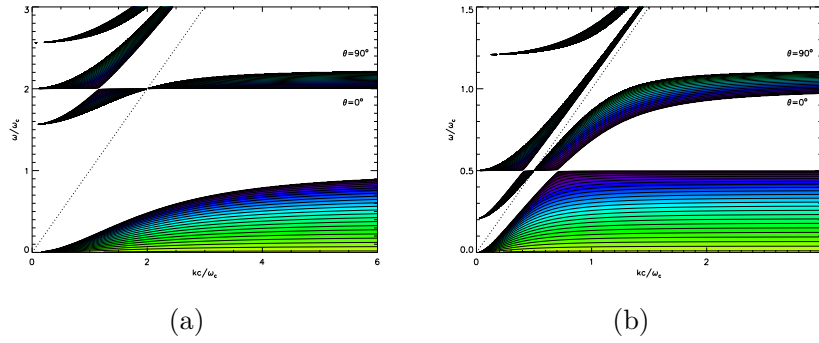


图 2: The general dispersion relation for waves in a uniform, magnetised cold plasma. (a) $\omega_p/\omega_c = 2.0$ and (b) $\omega_p/\omega_c = 0.5$

$$\begin{aligned}
S &= (R + L)/2 \\
D &= (R - L)/2 \\
R &= 1 - \sum_s \frac{\omega_{ps}^2}{\omega^2} \frac{\omega}{\omega + \omega_{cs}} \\
L &= 1 - \sum_s \frac{\omega_{ps}^2}{\omega^2} \frac{\omega}{\omega - \omega_{cs}} \\
P &= 1 - \sum_s \frac{\omega_{ps}^2}{\omega^2} = 1 - \frac{\omega_p^2}{\omega^2}
\end{aligned}$$

其中 ω_{ps} 和 ω_{cs} 分别是第 s 种类粒子的等离子体频率和回旋频率, ω_p 是整体的等离子体频率. 方程 (4) 还可以写成如下的形式,

$$\tan^2 \theta = -\frac{P(n^2 - R)(n^2 - L)}{(Sn^2 - RL)(n^2 - P)}.$$

其中单成分的结果可以参考图2为参照, 进行分析和比较.

3 磁流体力学快磁声激波关系

磁流体力学快磁声激波关系中 (?), 用磁场增量 h_f ($h_f \geq 0$) 来表示激波的强度, 通常分析下面的公式

$$\frac{X_f^\pm}{h_f} = (B \pm \sqrt{R_X})/C \quad (\geq 0) \quad (5)$$

和 h_f 的函数关系. B , C , 和 R_X 由以下表达式给出,

$$B = (\gamma/2)h_f \sin \theta_0 - (1 - s_0), \quad (6)$$

$$C = 2 \sin \theta_0 - (\gamma - 1)h_f, \quad (7)$$

$$R_X = B^2 + C(h_f + 2s_0 \sin \theta_0) \quad (\geq 0). \quad (8)$$

其中 θ_0 为波传播方向和磁场方向的夹角 ($0^\circ \leq \theta_0 \leq 90^\circ$), $\gamma = 5/3$ 是多方指数. 讨论两种情况, 即 B 在 C 的零点

$$\hat{B} \equiv B(\hat{h}_f) = \frac{\gamma}{\gamma - 1} \sin^2 \theta_0 - (1 - s_0),$$

大于等于和小于零的情况, 此处 \hat{h}_f 是 $C = 0$ 的根

$$\hat{h}_f = \left(\frac{2}{\gamma - 1} \right) \sin \theta_0. \quad (9)$$

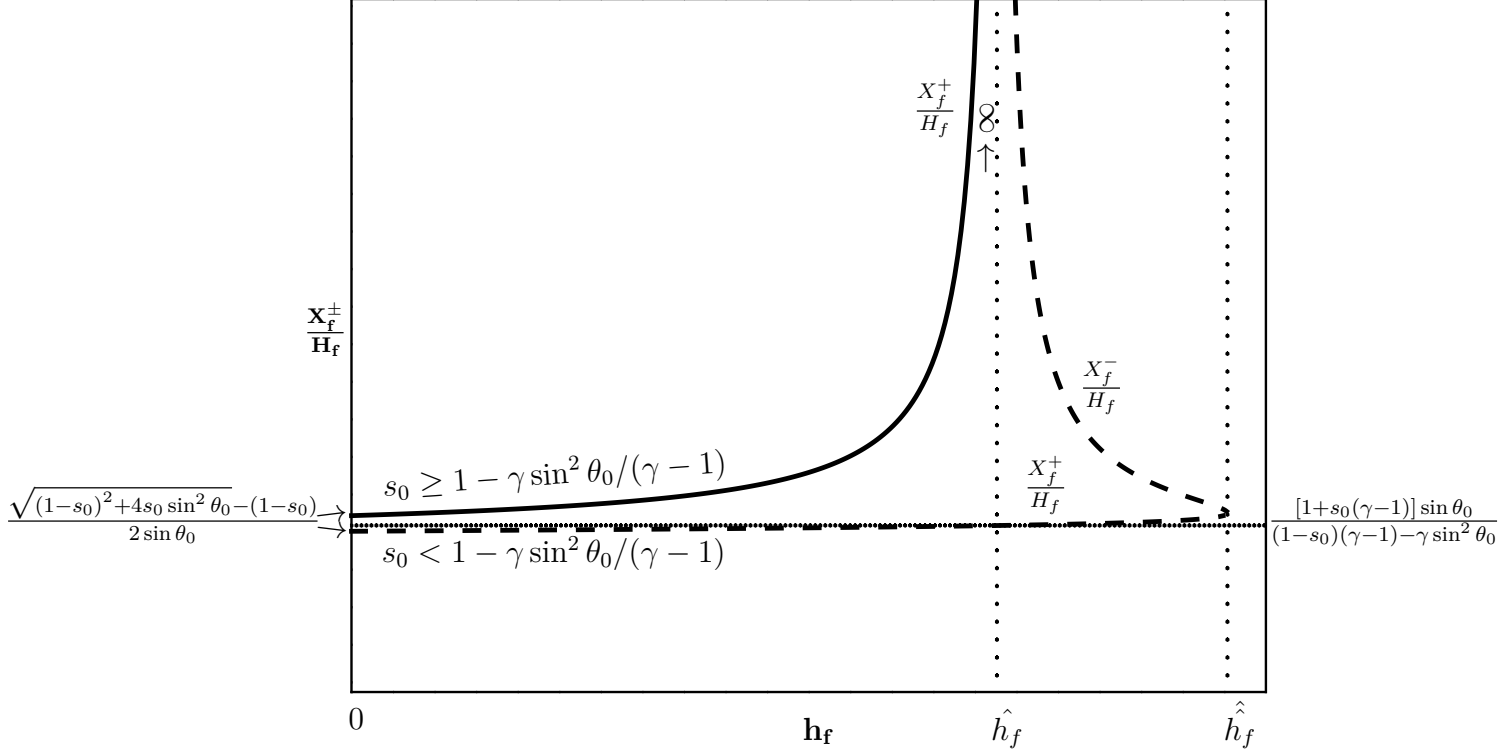


图 3: 快磁声激波关系

具体表现为 s_0 的条件

$$s_0 \geq 1 - \gamma \frac{\sin^2 \theta_0}{(\gamma - 1)}, \quad (10)$$

和

$$s_0 < 1 - \gamma \frac{\sin^2 \theta_0}{(\gamma - 1)}. \quad (11)$$

而 \hat{h}_f 是 $R_X = 0$ 的根,

$$\begin{aligned} \hat{h}_f = & \frac{1}{2(\gamma - 1) - \frac{1}{2}\gamma^2 \sin^2 \theta_0} \left\{ \sin \theta_0 (2 - \gamma)(1 + s_0) \right. \\ & \left. + 2 \cos \theta_0 \sqrt{(\gamma - 1)(1 - s_0)^2 + s_0 \gamma^2 \sin^2 \theta_0} \right\}. \end{aligned} \quad (12)$$

将关系 (5) 用图形表示 (可取 θ_0 的某个典型值进行分析, 如 $\theta_0 = 15^\circ$), 并参考图3或文献? 第 229 页中的图形以进行比较.

4 分工说明

- 毛东巍: 计算并绘制图2, 并撰写第 2 节相关内容;
- 张建: 计算并绘制图1, 并撰写第 1 节相关内容;
- 钟志辉: 计算并绘制图3, 撰写第 3 节相关内容, 整理修改全文内容, 并进行排版

特此说明: 以上分工仅以姓名拼音为序。

5 附件

- assign1.tex-本报告 L^AT_EX 文件
- assign1.pdf-本报告 PDF 输出文件
- figure.py-文中第一节图1所用的 Python 计算和图形绘制程序
- figure1.eps-图1的 EPS 图形文件, 由 Python 程序生成的 PS 格式图形文件
- figure2.pro-文中第二节图2所用的 IDL 计算和图形绘制程序
- figure2_1.eps 和 figure2_2.eps-图2的 EPS 图形文件, 由 IDL 程序生成的 PS 格式图形文件.
- figure3.pro-文中第三节图3所用的 IDL 计算和图形绘制程序
- FShock.pdf-图3的 EPS 图形文件, 由 IDL 生成无公式图形, 调整了边框后, 使用 L^AT_EX 加注其中的公式生成.
- References.bib - 文献文件